

SUPPLEMENTARY MATERIALS

Figure 1. CT and CTP scans of patients

A. Case 1: CT scan (A–C) and CTP Scan (D–L), Scan at level of basal nuclei (A, D, G, J), Mid brain (B, E, H, K), Pons (C, F, I, L). Perfusion maps (G–M), cerebral blood flow(CBF) (D–F), Cerebral blood volume (CBV) (G–I), Mean blood transit time: (MTT) (J–L)



A. The CT scan, axial projection, level of the basal nuclei



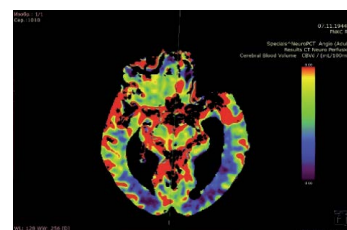
B. The CT scan, axial projection, level of the midbrain



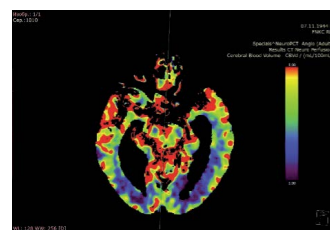
C. The CT scan, axial projection, level of the pons



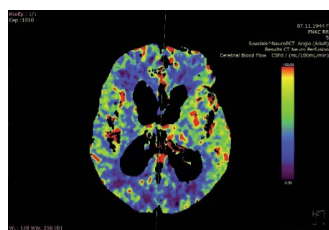
D. CT Perfusion scan, CBF, level of basal nuclei



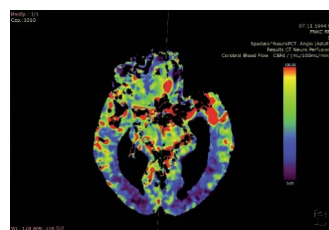
E. CT Perfusion scan, CBF, level of mid brain



F. CT Perfusion scan, CBF, level of pons



G. CT Perfusion Scan, CBV, level of basal nuclei



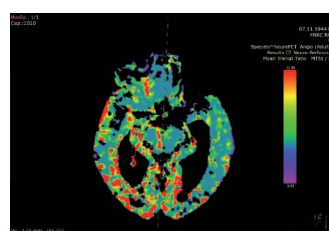
H. CT Perfusion Scan, CBV, level of mid brain



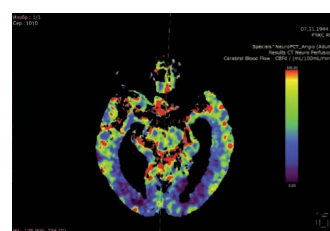
I. CT Perfusion Scan, CBV, level of pons



J. CT Perfusion Scan, MTT, level of basal nuclei



K. CT Perfusion Scan, MTT, level of mid brain



L. CT Perfusion Scan, MTT, level of pons

B. Case 2: CT scan (A–C) and CTP Scan (D–L), Scan at level of basal nuclei (A, D, G, J), Mid brain (B, E, H, K), Pons (C, F, I, L). Perfusion maps (G–M), cerebral blood flow (CBF) (D–F), Cerebral blood volume (CBV) (G–I), Mean blood transit time: (MTT) (J–L)



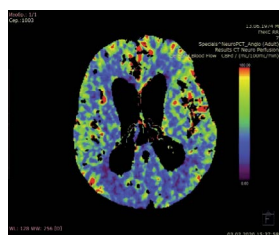
A. The CT scan, axial projection, level of the basal nuclei



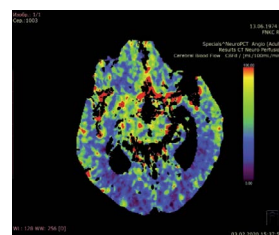
B. The CT scan, axial projection, level of the midbrain



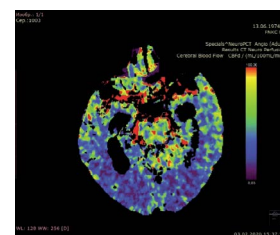
C. The CT scan, axial projection, level of the pons



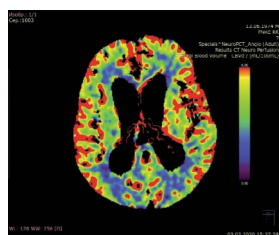
D. CT Perfusion scan, CBF, level of basal nuclei



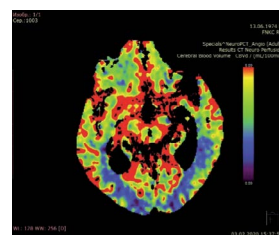
E. CT Perfusion scan, CBF, level of mid brain



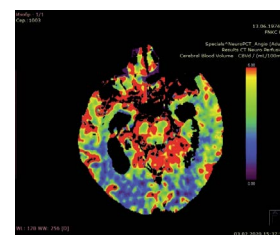
F. CT Perfusion scan, CBF, level of pons



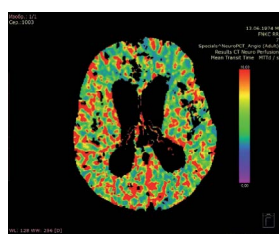
G. CT Perfusion Scan, CBV, level of basal nuclei



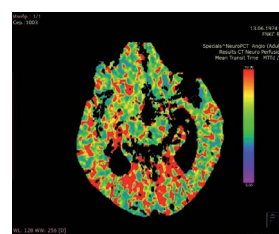
H. CT Perfusion Scan, CBV, level of mid brain



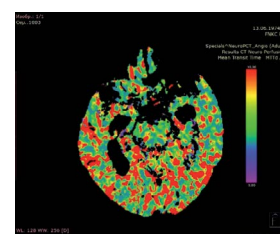
I. CT Perfusion Scan, CBV, level of pons



J. CT Perfusion Scan, MTT, level of basal nuclei



K. CT Perfusion Scan, MTT, level of mid brain



L. CT Perfusion Scan, MTT, level of pons

C. Case 3: CT scan (A–C) and CTP Scan (D–L), Scan at level of basal nuclei (A, D, G, J), Mid brain (B, E, H, K), Pons (C, F, I, L). Perfusion maps (G–M), cerebral blood flow (CBF) (D–F), Cerebral blood volume (CBV) (G–I), Mean blood transit time: (MTT) (J–L)



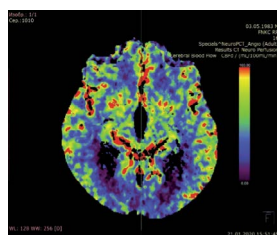
A. The CT scan, axial projection, level of the basal nuclei



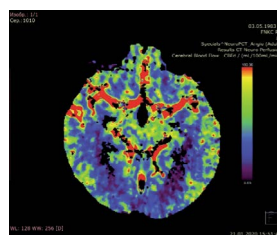
B. The CT scan, axial projection, level of the midbrain



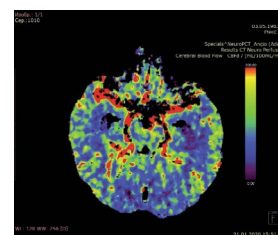
C. The CT scan, axial projection, level of the pons



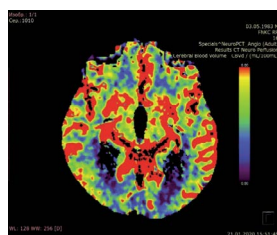
D. CT Perfusion scan, CBF, level of basal nuclei



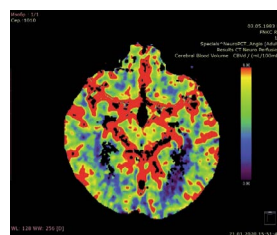
E. CT Perfusion scan, CBF, level of mid brain



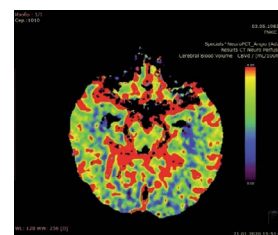
F. CT Perfusion scan, CBF, level of pons



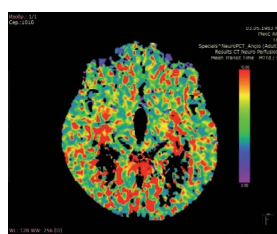
G. CT Perfusion Scan, CBV, level of basal nuclei



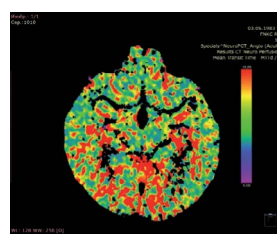
H. CT Perfusion Scan, CBV, level of mid brain



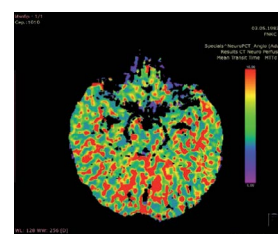
I. CT Perfusion Scan, CBV, level of pons



J. CT Perfusion Scan, MTT, level of basal nuclei



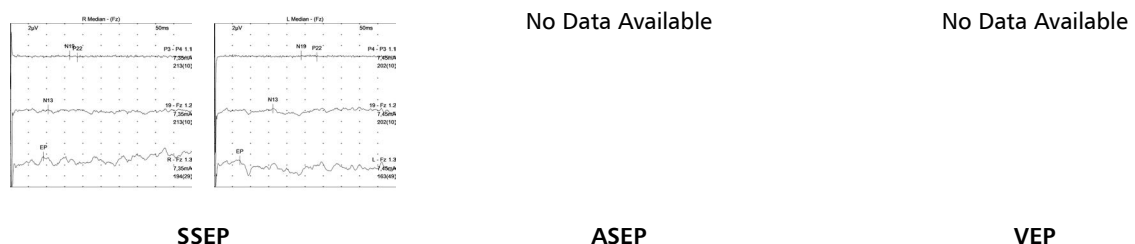
K. CT Perfusion Scan, MTT, level of mid brain



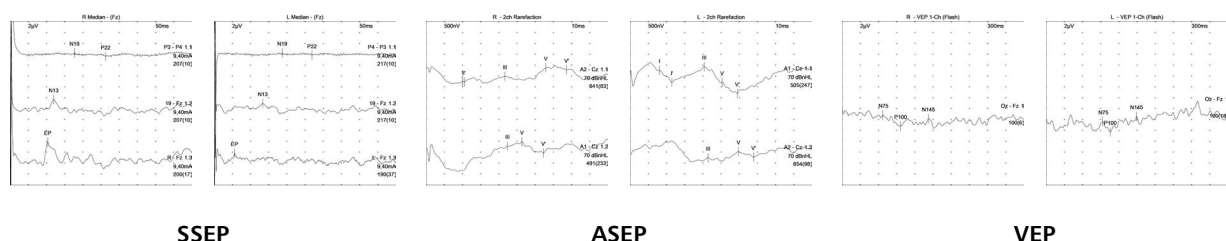
L. CT Perfusion Scan, MTT, level of pons

Figure 2. Evoked potentials

A. Case 1



B. Case 2



C. Case 3

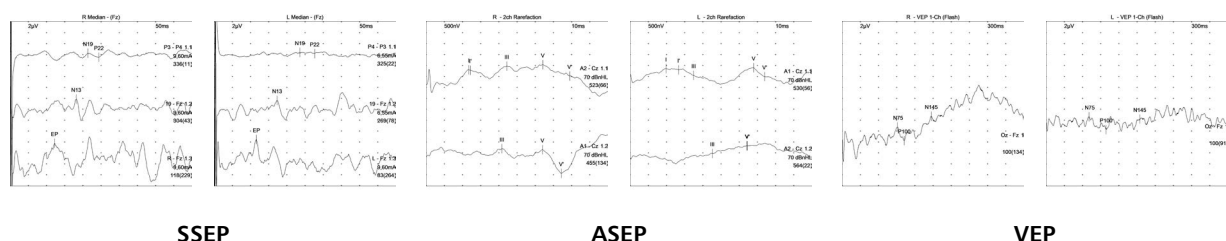
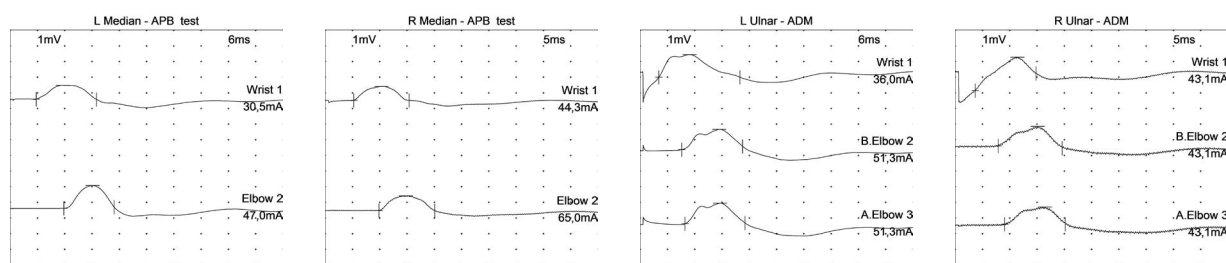


Figure 3. Electroneuromyography

A. Case 1



B. Case 3

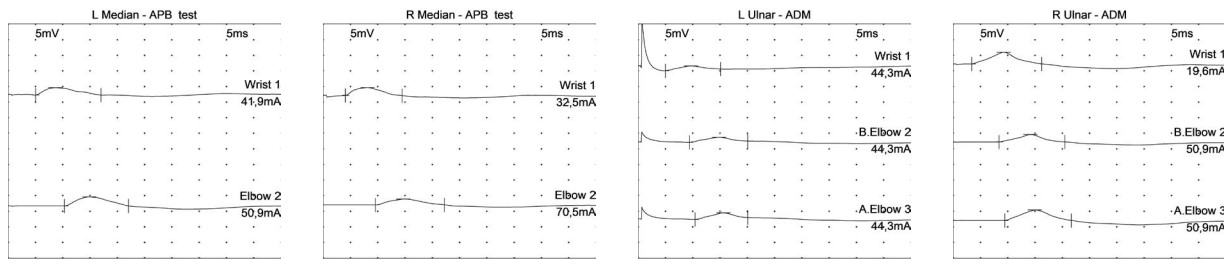


Figure 4. EEG studies

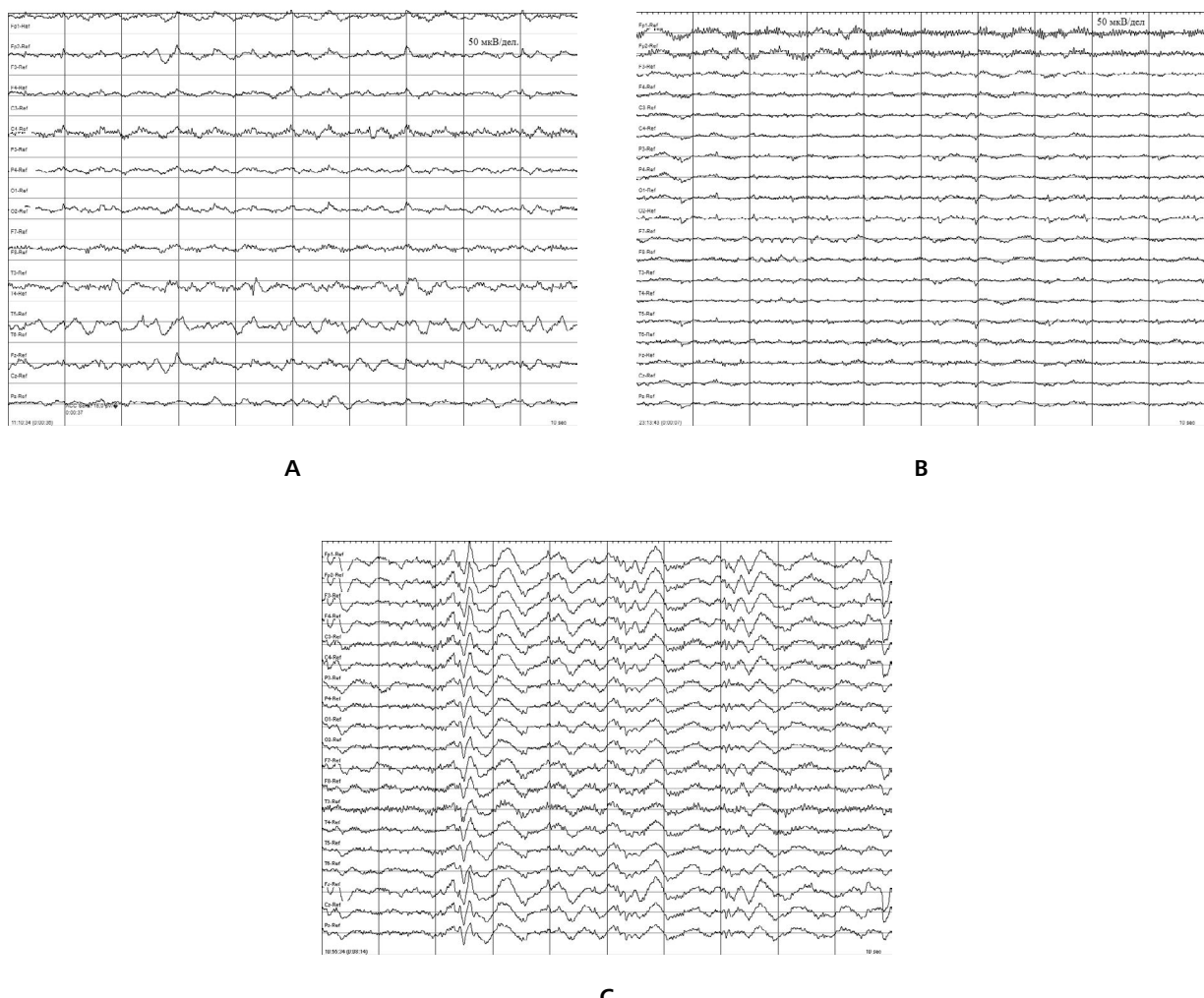
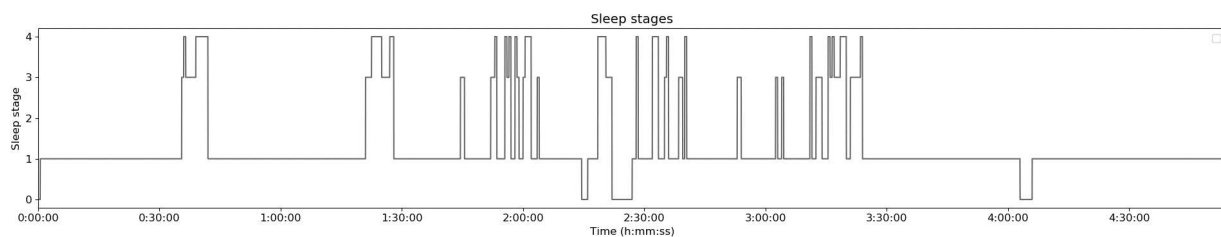
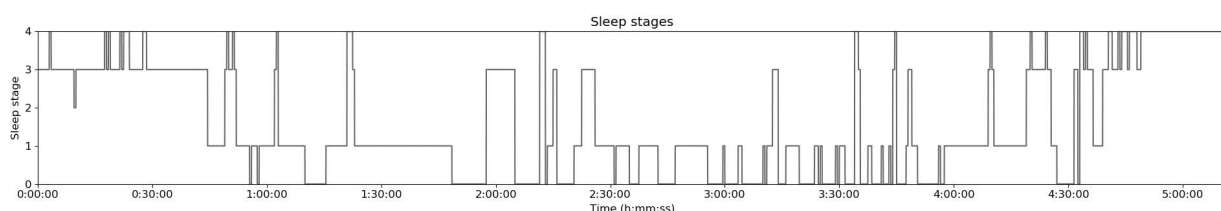


Figure 5. PSG studies

A. Case 1



B. Case 2



C. Case 3

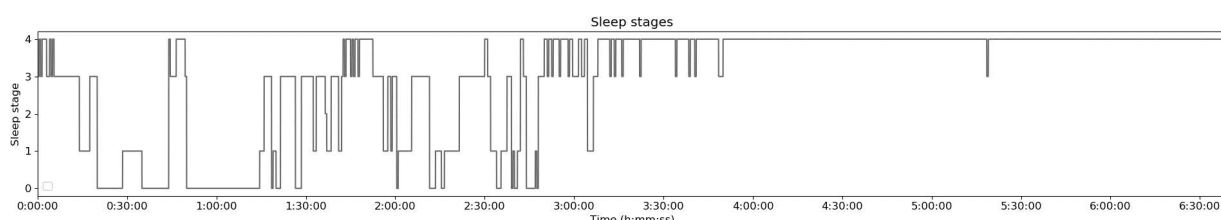
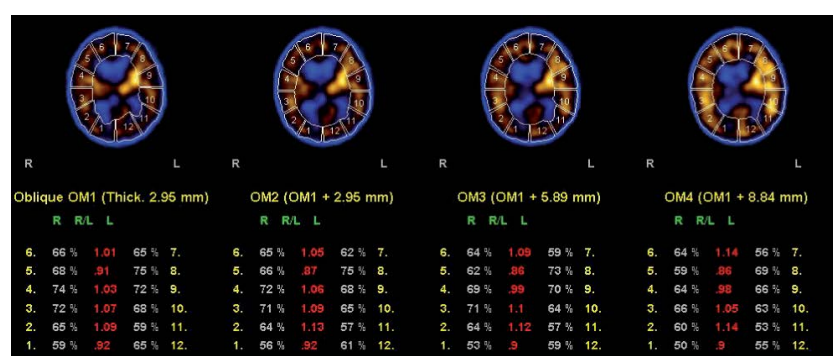
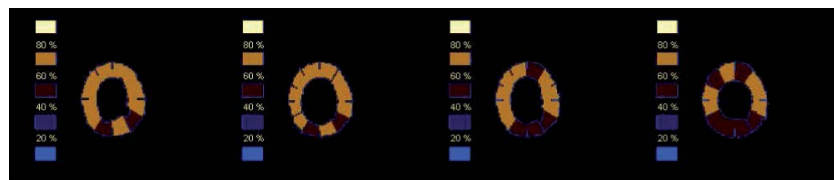


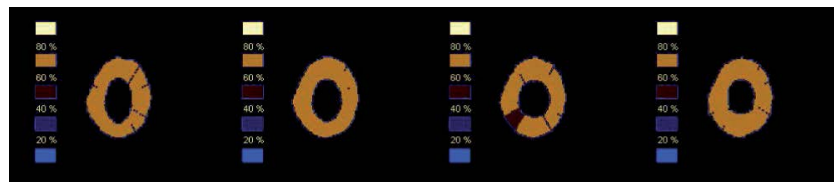
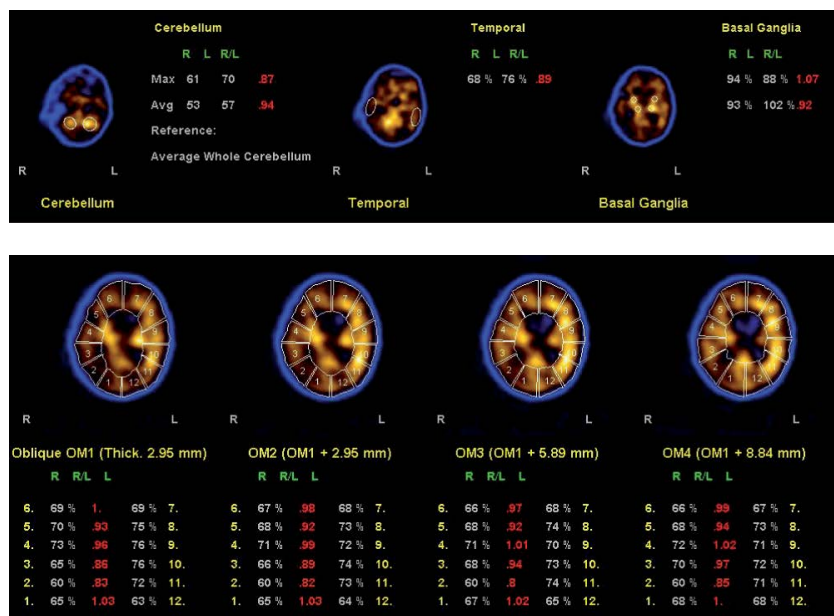
Figure 6. Results of the SPECT

A. Case 1





B. Case 2



C. Case 3



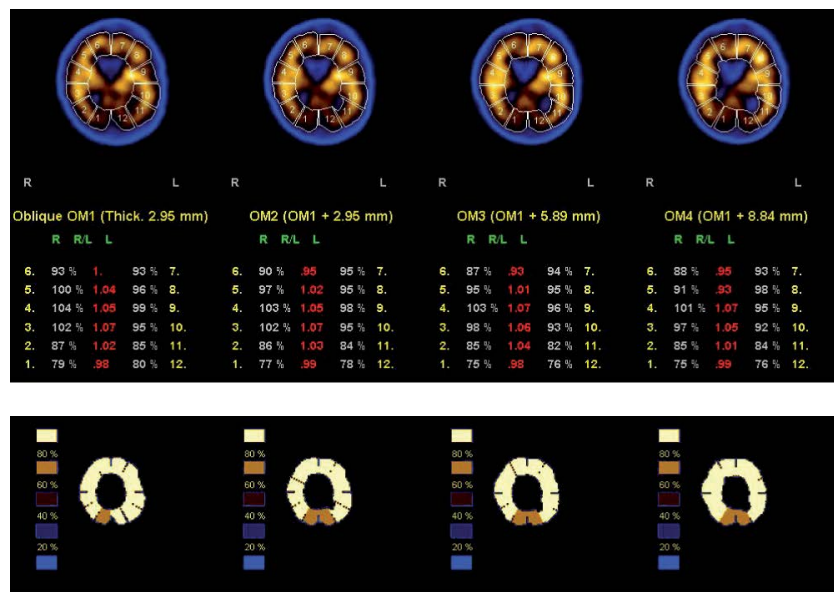
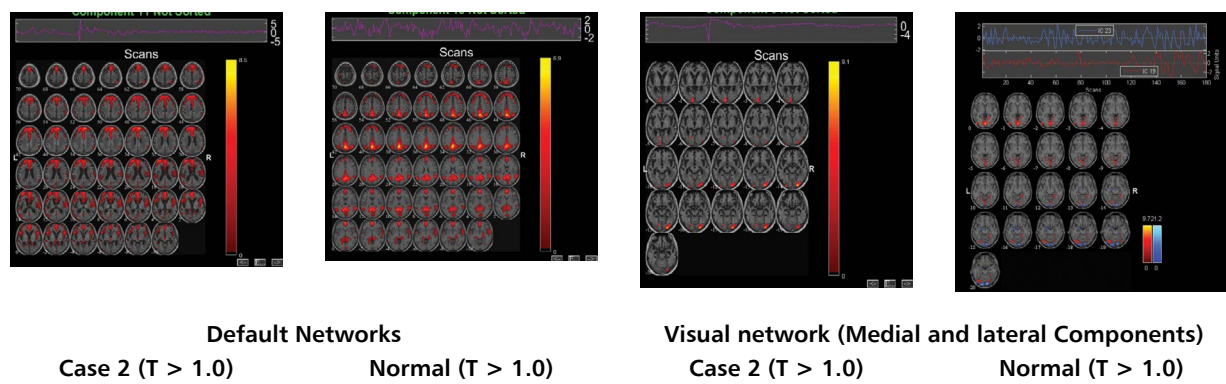


Figure 7. fMRI studies

A. Case 2



MATERIAŁY UZUPEŁNIAJĄCE

Rycina 1. Obraz CT i perfuzji CT u pacjentów

A. Przypadek 1: obraz CT (A–C) i perfuzji CT (D–L), obraz na poziomie jąder podstawy (A, D, G, J), śródmiędzgowie (B, E, H, K), most (C, F, I, L). Mapy perfuzji (G–M), przepływ krwi w mózgu (CBF) (D–F), objętość krwi w mózgu (CBV) (G–I), średni czas przepływu krwi: (MTT) (J–L)



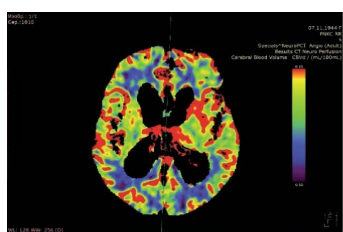
A. Badanie CT, projekcja osiowa, na poziomie jąder podstawy



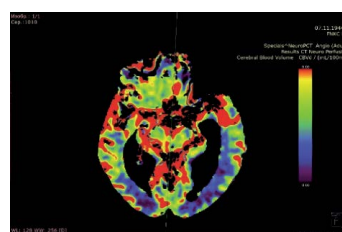
B. Badanie CT, projekcja osiowa, na poziomie śródmiędzgownia



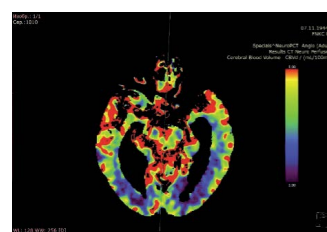
C. Badanie CT, projekcja osiowa, na poziomie mo



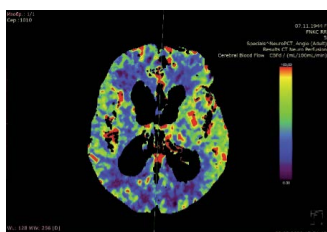
D. Perfazyjna CT, CBF, poziom jąder podstawy



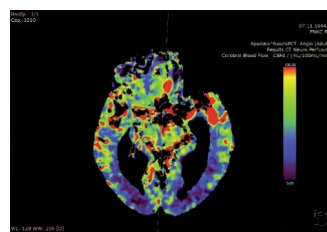
E. Perfazyjna CT, CBF, poziom śródmiędzgownia



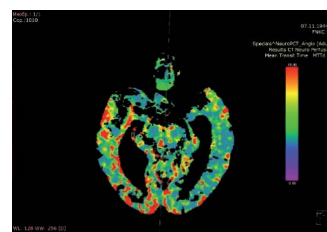
F. Perfazyjna CT, CBF, poziom mostu



G. Perfazyjna CT, CBV, poziom jąder podstawy



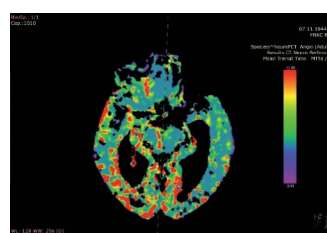
H. Perfuzja CT, CBV, poziom śródmiędzgownia



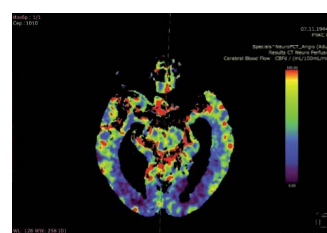
I. Perfazyjna CT, CBV, poziom mostu



J. Perfazyjna CT, MTT, poziom jąder podstawy



K. Perfazyjna CT, MTT, poziom śródmiędzgownia



L. Perfazyjna CT, MTT, poziom mostu

B. Przypadek 2: obraz CT (A–C) i perfuzyjne CT (D–L), obraz na poziomie jąder podstawy (A, D, G, J), śródmiędzgowie (B, E, H, K), most (C, F, I, L). Mapy perfuzyjne (G–M), przepływ krwi w mózgu (CBF) (D–F), objętość krwi w mózgu (CBV) (G–I), średni czas przepływu krwi: (MTT) (J–L)



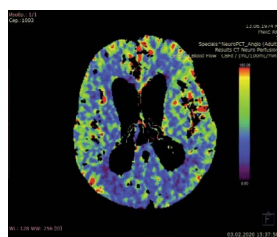
A. Badanie CT, projekcja osiowa, na poziomie jąder podstawy



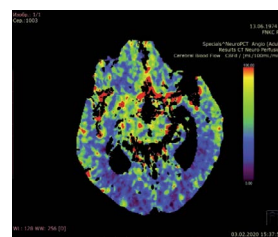
B. Badanie CT, projekcja osiowa, na poziomie śródmiędzgowia



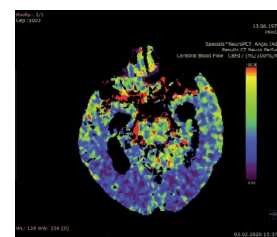
C. Badanie CT, projekcja osiowa, na poziomie mostu



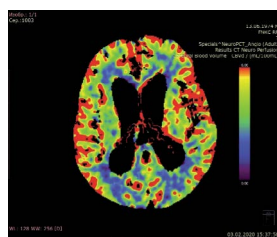
D. Perfazyjna CT, CBF, poziom jąder podstawy



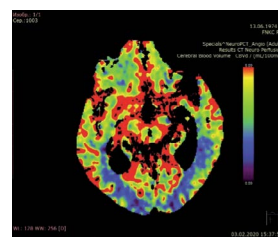
E. Perfazyjna CT, CBF, poziom śródmiędzgowia



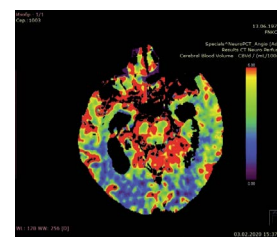
F. Perfazyjna CT, CBF, poziom mostu



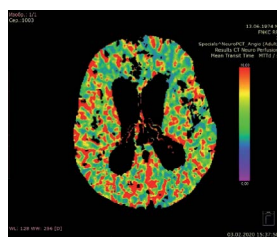
G. Perfazyjna CT, CBV, poziom jąder podstawy



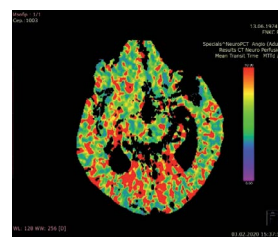
H. Perfuzja CT, CBV, poziom śródmiędzgowia



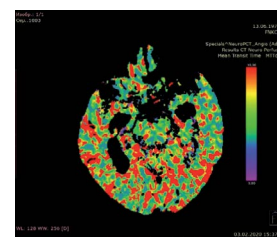
I. Perfazyjna CT, CBV, poziom mostu



J. Perfazyjna CT, MTT, poziom jąder podstawy



K. Perfazyjna CT, MTT, poziom śródmiędzgowia



L. Perfazyjna CT, MTT, poziom mostu

C. Przypadek 3: obraz CT (A–C) i perfuzyjne CT (D–L), obraz na poziomie jąder podstawy (A, D, G, J), śródmiędzgowie (B, E, H, K), Most (C, F, I, L). Mapy perfuzyjne (G–M), przepływ krwi w mózgu (CBF) (D–F), objętość krwi w mózgu (CBV) (G–I), średni czas przepływu krwi: (MTT) (J–L)



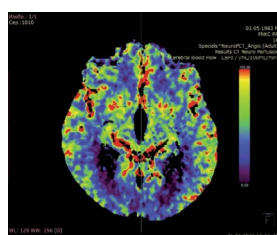
A. Badanie CT, projekcja osiowa, na poziomie jąder podstawy



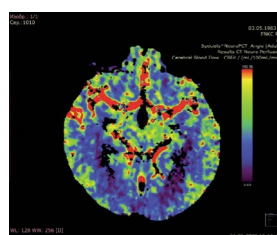
B. Badanie CT, projekcja osiowa, na poziomie śródmiędzgówia



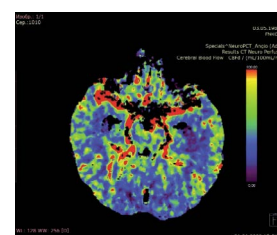
C. Badanie CT, projekcja osiowa, na poziomie mostu



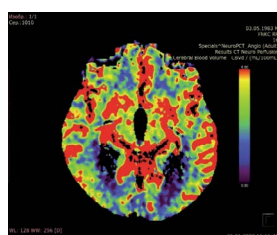
D. Perfazyjna CT, CBF, poziom jąder podstawy



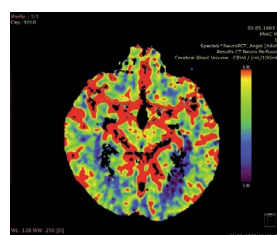
E. Perfazyjna CT, CBF, poziom śródmiędzgówia



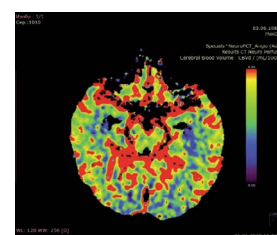
F. Perfazyjna CT, CBF, poziom mostu



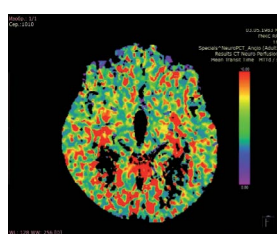
G. Perfazyjna CT, CBV, poziom jąder podstawy



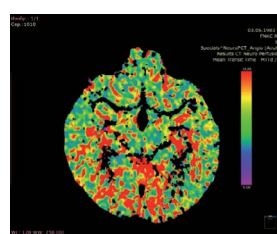
H. Perfuzja CT, CBV, poziom śródmiędzgówia



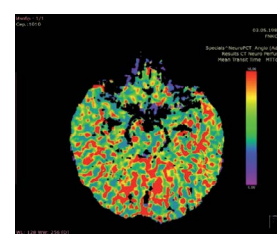
I. Perfazyjna CT, CBV, poziom mostu



J. Perfazyjna CT, MTT, poziom jąder podstawy



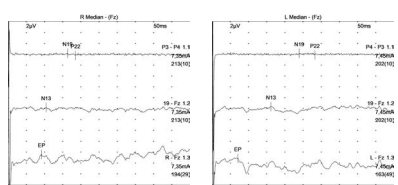
K. Perfazyjna CT, MTT, poziom śródmiędzgówia



L. Perfazyjna CT, MTT, poziom mostu

Rycina 2. Potencjały wywołane

A. Przypadek 1



Brak dostępnych danych

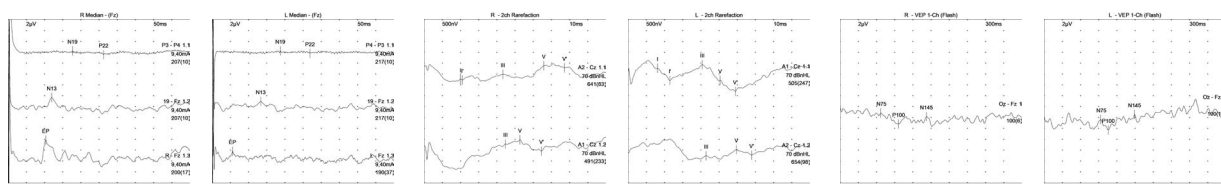
Brak dostępnych danych

SSEP

ASEP

VEP

B. Przypadek 2

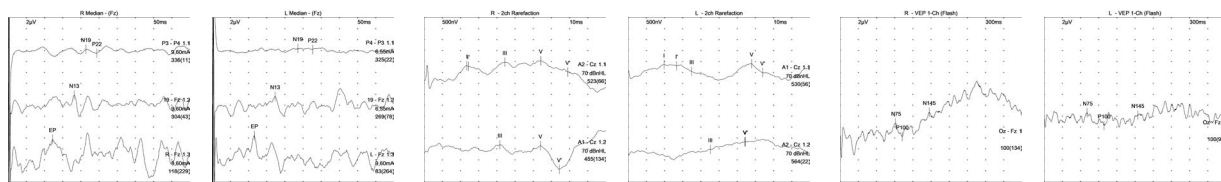


SSEP

ASEP

VEP

C. Przypadek 3



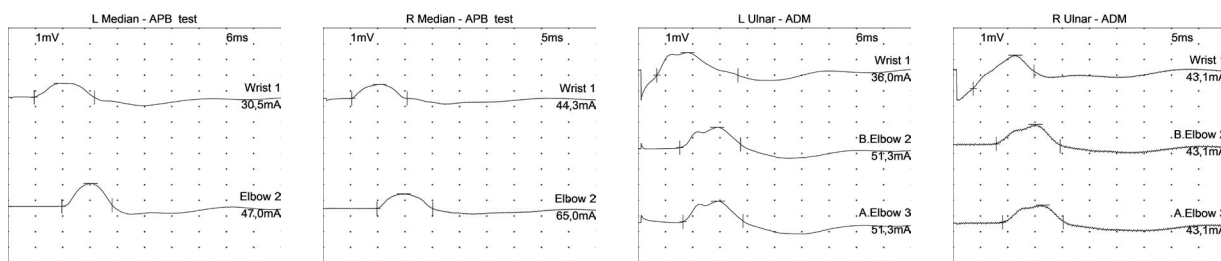
SSEP

ASEP

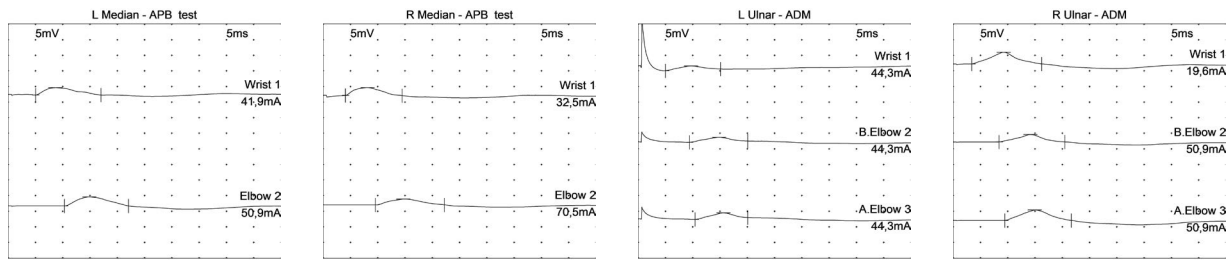
VEP

Rycina 3. Elektroneuromiografia

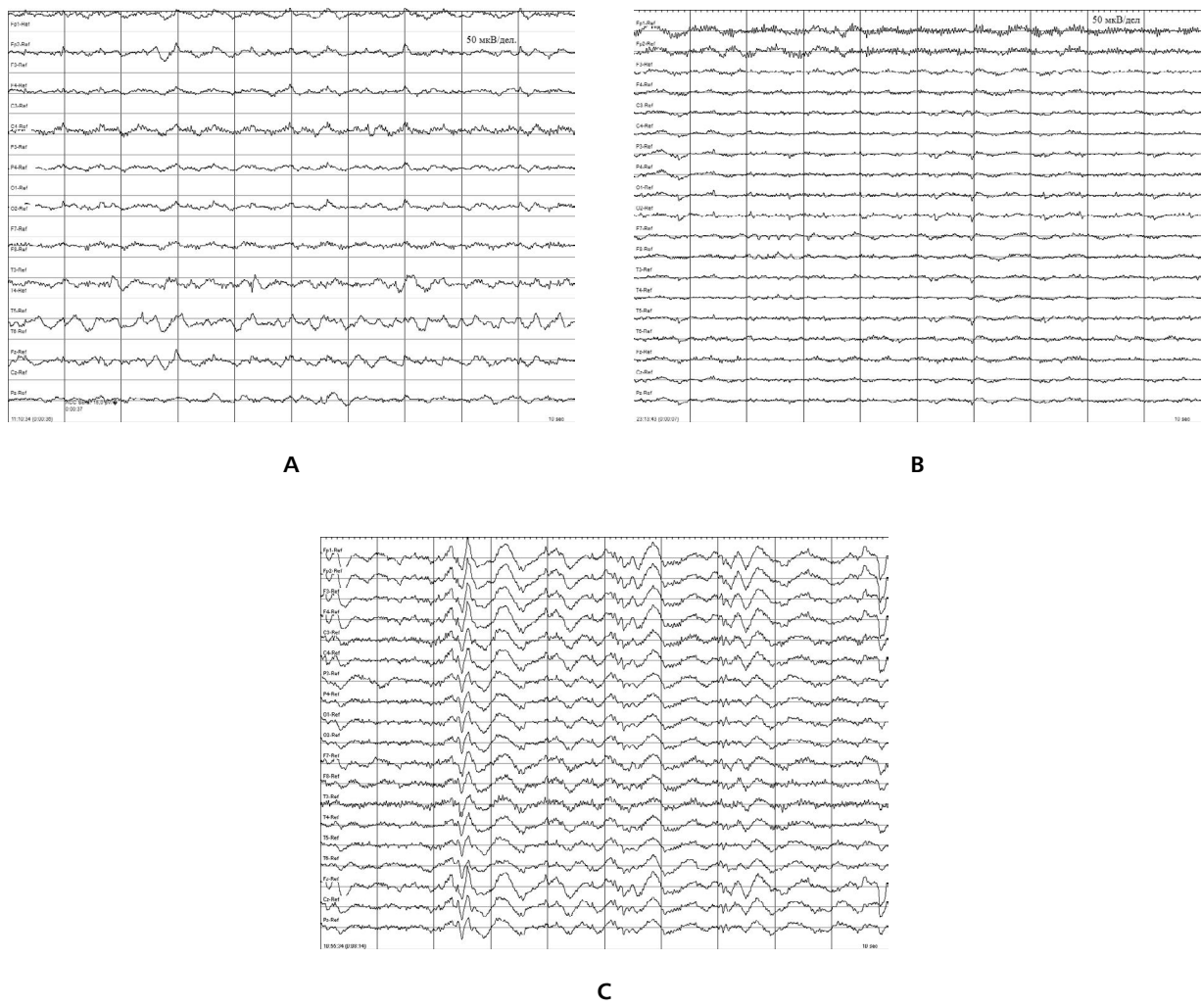
A. Przypadek 1



B. Przypadek 3

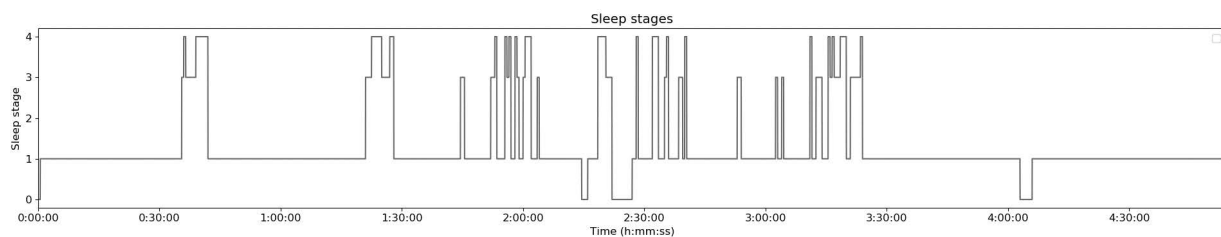


Rycina 4. Badania EEG

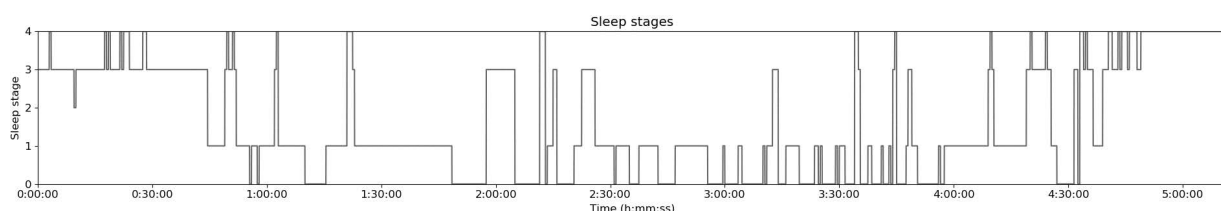


Rycina 5. Badania PSG

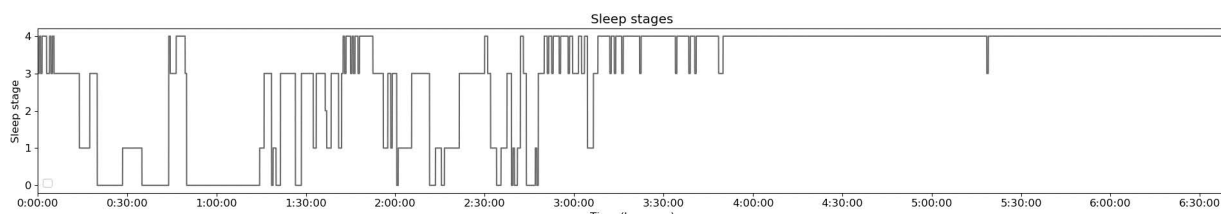
A. Przypadek 1



B. Przypadek 2

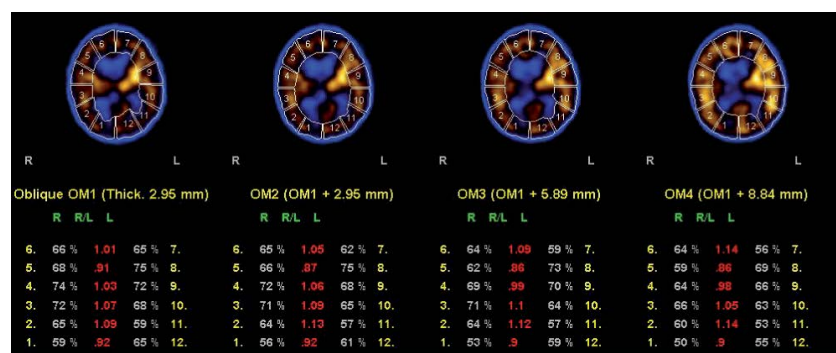


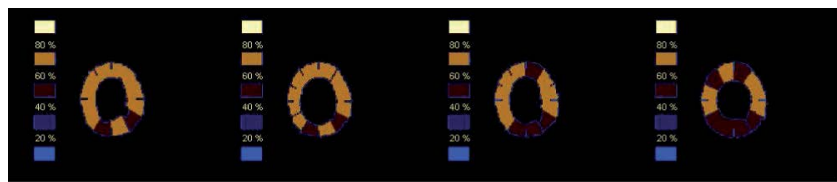
C. Przypadek 3



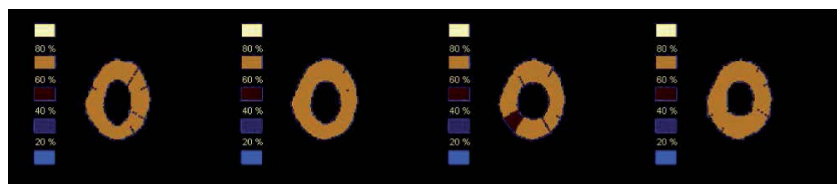
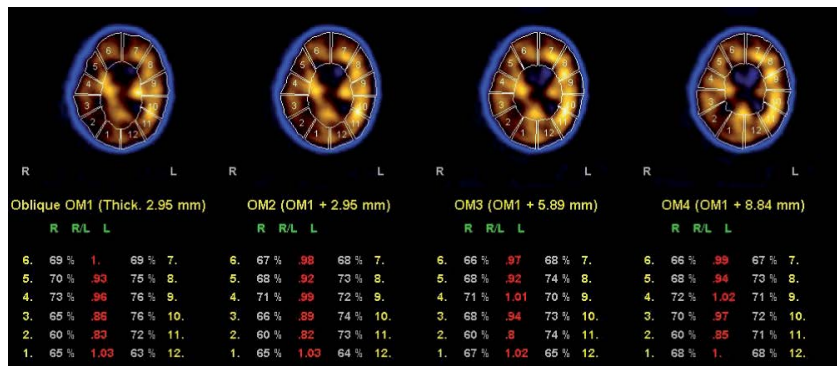
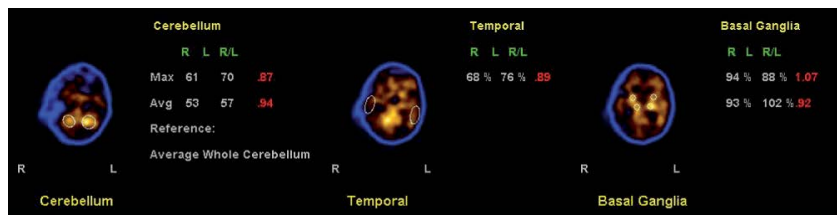
Rycina 6. Wyniki badania SPECT

A. Przypadek 1

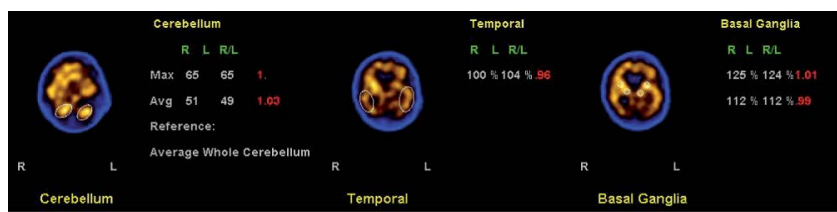


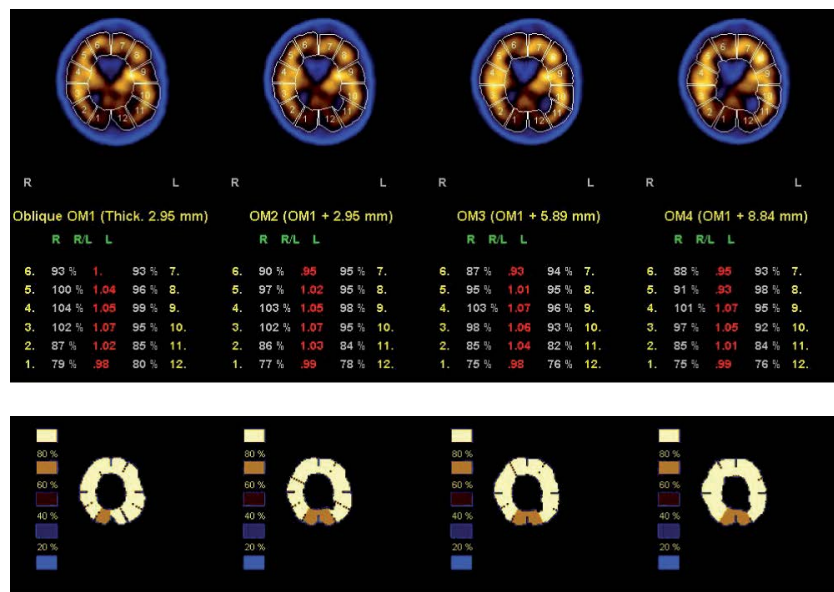


B. Przypadek 2



C. Przypadek 3





Rycina 7. Badania fMRI
A. Przypadek 2

